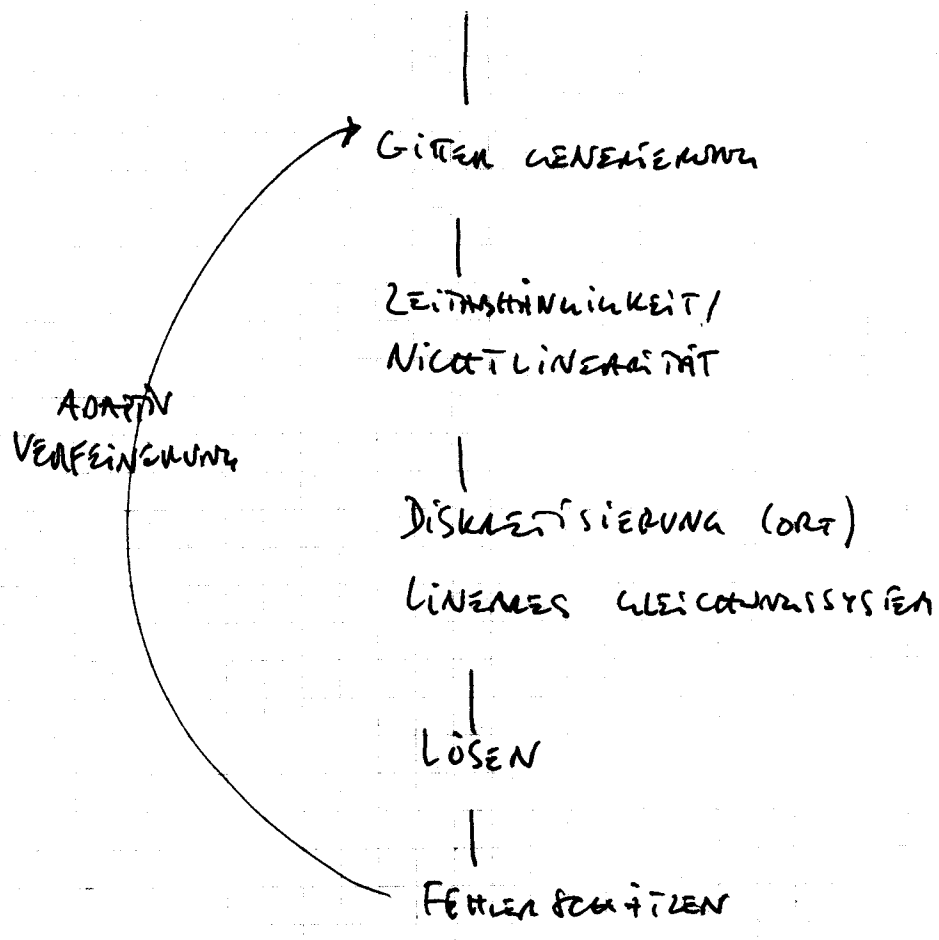


Ablauf

PDE - MODELL



Komplexität der fehlungsrechnung + lösens dominieren

Lösen lässt sich automatisieren, fehlungsrechnung "nur einmal"

⇒ Schnelle Lösung wesentlichen Problem

Hierbei sollte aber klar sein, dass man typischerweise eine PDE lösen will!

⇒ Diskretisierungsfehler etc auch hier relevant!

Kleinste Norm

$$\boxed{Ax = b}$$

A regulär

$$\Phi: \mathbb{R}^N \times \mathbb{R}^N \rightarrow \mathbb{R}^N$$

$$(x, b) \rightarrow \Phi(x, b)$$

$$\boxed{x_{k+1} \leftarrow \Phi(x_k, b)}$$

Fixpunkt, $x^* \leftarrow \Phi(x^*, b)$

1. Normalform

$$\Phi(x, b) = Mx + Nb$$

„linear in x und b“

$$\boxed{\rho(M) < 1}$$

$$\boxed{M = \text{Jacobianmatrix von } \Phi}$$

2. Normalform

$$Ax_* = b \Rightarrow$$

Lösung

$$\Phi(x_m, b) = Mx_m + Nb = Mx_m + NAx_*$$

Im Fixpunkt x_* gilt $\Phi(x_*, b) = x_*$

$$\Rightarrow I = M + NA \rightsquigarrow \boxed{M = I - NA}$$

$$\Phi(x_m, b) = x_m - N(Ax_m - b)$$

3. Normalform

$$W(x_m - x_{m+1}) = Ax_m - b$$

für W regulär gilt $\boxed{W^{-1} = N}$

$$\boxed{N \approx A^{-1} \quad W \approx A^+}$$

Richardson: $W = \omega \cdot \mathbb{I}$

Jacobi: $W = D \quad (A = D - L - U)$

Gauss-Seidel: $W = D - L$

SOR: $W = \omega (D - \omega L)$

Richardson $M = \mathbb{I} - \omega A \Rightarrow$

Spektrum (M) \sim Spektrum (A)

Dabei für "Analyse" häufig!

Jacobi bei unipformen Gittern / konstante Koeffizienten

$A = * \begin{bmatrix} * & * & * \\ * & a_{ii} & * \\ * & * & * \end{bmatrix} \Rightarrow a_{ii} = \text{const} \Rightarrow$

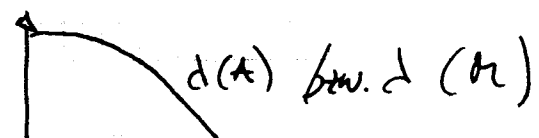
Jacobi \approx Richardson $\omega = 1/a_{ii} = 1/d_i$

M und A haben gleiche Eigenvektoren

und es erfüllen die Eigenwerte $\boxed{d_M = 1 - \omega d_A}$

$\Rightarrow M^k x_0$ "leicht" bestimmbar

\Rightarrow "Kontraktion radius" durch Eigenwerte von A



Reduktionsrate ist abhängig von "Kernteil"
in jedem Eckenraum "anderes"

Startwertwahl \nearrow bereits "Verbesserung" ?

\Rightarrow In welchem Eckenräumen ist die Reduktion gest?

\rightarrow S

Eigenwerte

A_h aus PDE-Diskretisierung (FEM)

(3)

$$\lambda_{\min}(A_h) \geq c^{-1} \quad \lambda_{\max}(A_h) \leq c \cdot h^{-2}$$

(große Eigenwerte „wachsen“, verschlechterten Kondition)

„gute Glättung“

Hierzu gehören die osillierenden Eigenfunktionen,
d.h. $\|v_h\|_1 \gg \|v_h\|_0$.

Auf einem Teil des Spektrums Reduktion
unabhängig von h .

Komplement

Verwende eine zweite „Knoten“, um
dort h -unabhängig Fehler zu reduzieren.
(\hookrightarrow Eigenfunktionen zu „kleinen“ Eigenwerten)
„glatte Eigenfunktionen“
 \Rightarrow gröbere Diskretisierung „ausreichend“

Konvergenz:

Glättungseigenschaft: $\|S^v v_h\|_X \leq c \cdot h^{\alpha} \left(\frac{1}{h}\right)^{\beta} \|v_h\|_Y$

Approximatoreigenschaft: $\|v_h - v_{2h}\|_Y \leq c \cdot h^{\beta} \|v_h\|_X$

X feinere Topologie als Y (X „kleiner“ als Y)
(Glättungseigenschaft „inverse“ Ungleichung)

Wie glatt ist der Fehler?

Wie groß ist der Fehler?

Zwei-fitts-Verfahren

0.) $A_h u_h^k = f_h$ u_h^k aktuelle Iterierte

1.) Flüttung: $f: S_h \times S_h' \rightarrow S_h$

$(u_h^k, f_h) \rightarrow u_h^{k+1/2}$

\Rightarrow Nach v -Flüttungen $u_h^{k+1/2}$

2.) Prozjilts-Korrektur:

Lös unabhänder Variationsproblem

$J(u_h^{k+1/2} + v_H) \rightarrow \min\{S_H \cap S_h\}$

$u_h^{k+1} = u_h^{k+1/2} + \bar{v}_H$ $(H = 2 \cdot h)$

Prozjilts-Korrektur

Für $S_H \subset S_h$ gibt es die
Inklusion $i: S_H \hookrightarrow S_h$, damit
Matrix der Kellung P_H^h gilt:

$A_H = R_H^H A_h P_H^h$ $R_H^H = (P_H^h)^T$

falsch-Identität

Mit dem Defect

$(d_h, w_h) = (f, w_h) - a(u_h^{k+1/2}, w_h)$

ist jetzt zu lösen

$R_H^H A_h P_H^h \bar{v}_H = R_H^H d_h$

Kontinuitäts- / Fehleranalyse

$$u_{k+1} - u = M (u_k - u)$$

$$\begin{aligned} M &= J^{1/2} (I - PA_G^{-1} R A_F) J^{1/2} \\ &= J^{1/2} (A_F^{-1} - PA_G^{-1} R) A_F J^{1/2} \end{aligned}$$

$\Rightarrow \rho(M) < 1$ für Konvergenz

Ziel: $\rho(M) \leq c < 1$ mit c unabhängig von h/N

(X_S) $\Rightarrow \|A_F J^{1/2}\| \leq c/v \cdot h^{-2}$

(X_A) $\|A_F^{-1} - PA_G^{-1} R\| \leq c \cdot h^2$

$\rho(M) \leq c/v$
(falls $\|S\| \leq 1$)
konvergente Iteration

Mit $\|Ax\| = \cdot \|x\|_2$ also

(X_S) $\|J^{1/2}\|_2 \leq c/v \cdot h^{-2}$

(X_A) $\|v - u_G\|_0 \leq c \cdot 2h \cdot \|v - u_G\|_1 \leq c \cdot 2h^2 \|v\|_2$

$v = A_F^{-1} d$

$u_G = PA_G^{-1} R b$
↑ Inklusion!

L^2 -Stabilität

$\|v\|_2 = \|d\|$

$\Rightarrow \|(A_F^{-1} - PA_G^{-1} R) d\| \leq c \cdot 2 \cdot h^2 \|d\|$

$\leadsto (X_S) + (X_A) = (X_S) + (X_A)$

Konvergenz des 2-fits-Verfahrens

i) klassische Fehlerabschätzung $\|u - v_h\|_m \leq C \cdot h^{t-m} \cdot \|u\|_t$

jetzt aber " $u \in S_h$ " " $v_h \in S_H$ " $\Rightarrow u, v_h \in C^0$

Wenig klassische flächheit + Fehlerabschätzung "weillos"

ii) klassische flächheit \approx (höhere) Ableitungen \approx Differentialoperator (Potenzen) \approx Steifheitsmatrix (Potenzen)

iii) Basiswahl Koeffizienten " $=$ " Funktionen

$$\|x\|_S := (x, A^S x)^{1/2} = \|A^{S/2} x\| \quad \text{spd}$$

Für $S=0,1$ äquivalente Normen zu H^S -Norm!

S=0 L^2 -Stabilität der nodalen Basis

S=1 H^1 -Elliptizität von $a(\cdot, \cdot)$

flächheitseigenschaft

$$\lambda_{\max}(A) = \sup_{x \in \mathbb{R}^N} \frac{(x, Ax)}{(x, x)} = \sup \frac{\|v_h\|_1^2}{\|v_h\|_0^2} \leq \sup_{v_h \in S_h} \frac{\|v_h\|_1^2}{\|v_h\|_0^2}$$

Inverse Ungleichung $\|v_h\|_1 \leq C \cdot h^{-1} \|v_h\|_0 \quad v_h \in S_h$

$$\Rightarrow \lambda_{\max}(A_h) \leq C_1 \cdot h^{-2} \Rightarrow \underline{\underline{\kappa(A_h) \leq C^2 h^2}}$$

$$\lambda_{\min}(A_h) = \inf \frac{(y, Ay)}{(y, y)} \geq C_1^{-1}$$

⊕ weitere Eigenschaften von $\|\cdot\|_S$

$$\|v^k\| \leq C \cdot \frac{1}{h} \cdot h^{-2} \|x^0\| \quad \text{Kilwarden mit}$$

Approximationseigenschaft (volle Regularität)

$$a(u_H - v_h, w_H) = 0 \quad \forall w_H \in S_H \quad (\underline{H=2h})$$

dann gilt

$$\|u_H - v_h\|_1 \leq C \cdot 2h \cdot \|v_h\|_2$$

$$\|u_H - v_h\|_0 \leq C \cdot 2h \cdot \|u_H - v_h\|_1$$

$v_h \in C^0$ $v_h \in H^1 \Rightarrow$ Aubin-Nielsen in S_H ($H=2h$)

$$\|u_H - v_h\|_0 \leq C \cdot 2h \cdot \|u_H - v_h\|_1$$

falsch-Orthogonalität, log Konvergenz der $\|\cdot\|_S$ -Skala, Ellip.

$$\|u_H - v_h\|_1 \leq C/\alpha \cdot 2h \cdot \|v_h\|_2$$

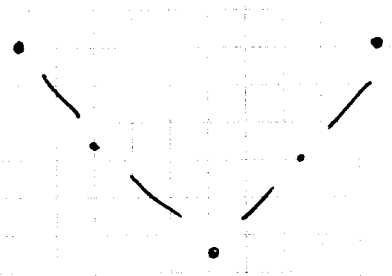
Ullsgitter

kurzes Approximation an exakte falsch-Korrektur im Ullsgitter-Messwert \Rightarrow kleine Schwankung

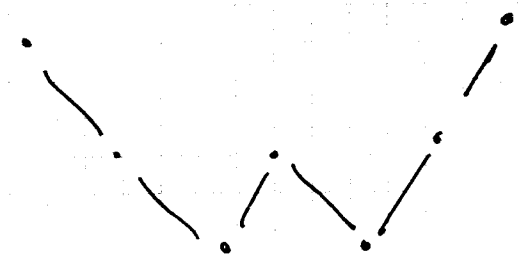
\Rightarrow "Vergleich der jeweiligen Korrektur mit der exakten"

no Rekursionsformeln für MG-Raten (abh. von ZG-Rate)

no Falls ZG-Rate klein genug \checkmark



V-Zyklus



W-Zyklus

Kontraktionszahl der Mehrgitter-Iteration ist unabhängig von h kleiner als 1 \Rightarrow

$$\begin{aligned} \|u_{k,e} - u_{*,e}\| &\leq \rho \|u_{k-1,e} - u_{*,e}\| \\ &\leq \rho^k \|u_{0,e} - u_{*,e}\| \end{aligned} \quad \forall k, \forall e \text{ Iteration Level}$$

Diskretisierungsfehler

$$\|u_{*,e} - u\|_V \leq C \cdot \underbrace{2^{-l \cdot p}}_h \|u\|_W$$

\uparrow Diskr. bzg \uparrow Analy. bzg \uparrow h

Skalierung von u , Diskr. Grad

Startwert

$$u_{0,e} = P_{l-1}^e u_{m_{l-1}, l-1} \quad \text{wobei}$$

$$\|u_{m_{l-1}, l-1} - u\| \leq C \cdot 2^{-(l-1) \cdot p} \|u\|_W$$

$$\begin{aligned} \|u_{k,e} - u\| &\leq \|u_{k,e} - u_{*,e}\| + \|u_{*,e} - u\| \\ &\leq \rho^k \|u_{0,e} - u_{*,e}\| + \|u_{*,e} - u\| \\ &\leq \rho^k \cdot \|u_{0,e} - u_{*,e}\| + C \cdot 2^{-l \cdot p} \|u\|_W \\ &\leq \rho^k \cdot \|P_{l-1}^e u_{m_{l-1}, l-1} - u_{*,e}\| + C \cdot 2^{-l \cdot p} \|u\|_W \\ &\leq \rho^k (\|P_{l-1}^e u_{m_{l-1}, l-1} - u_{*,e-1}\| + \|u_{*,e-1} - u\| + \|u_{*,e} - u\|) \\ &\quad + C \cdot 2^{-l \cdot p} \|u\|_W \end{aligned}$$